

osservazione:



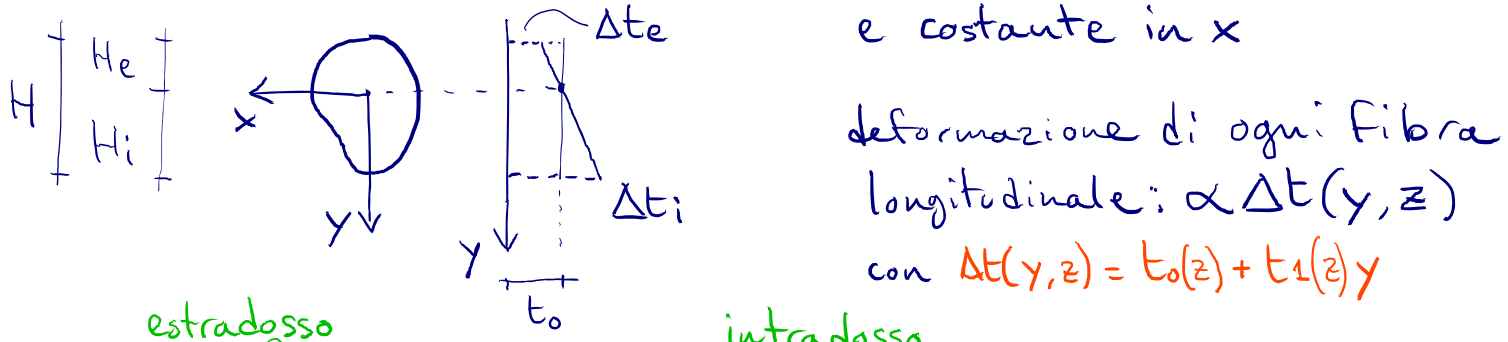
nelle travi snelle anche le deformazioni estensionali possono essere trascurate rispetto a quelle flessionali se i carichi assiali sono comparabili ai carichi flessionali  
 (esercizio: verificare)

— · — · —

## Deformazioni Flessionali di origine termica

Hp: variazione di temperatura lineare in y

e costante in x



deformazione di ogni fibra longitudinale:  $\propto \Delta t(y, z)$   
 con  $\Delta t(y, z) = t_0(z) + t_1(z)y$

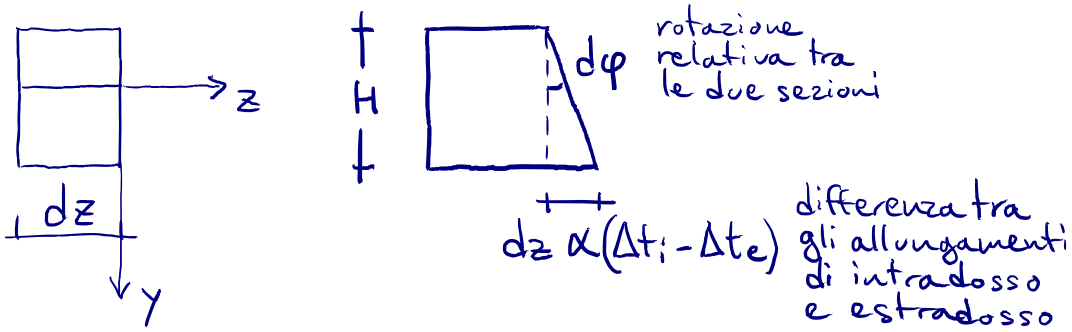
ponendo  $\Delta t_e = t_0 - t_1 H_e$ ,  $\Delta t_i = t_0 + t_1 H_i$   
 e risolvendo rispetto a  $t_0, t_1$  si ottiene:  
 (esercizio: verificare)

$$\begin{cases} t_0 = \frac{H_e \Delta t_e + H_i \Delta t_i}{H} \\ t_1 = \frac{\Delta t_i - \Delta t_e}{H} \end{cases}$$

$t_0(z) = \Delta t(0, z)$  è la quota costante di  $\Delta t$  sulla sezione  
 $\Rightarrow$  deformazione estensionale di origine termica

$$\epsilon_{term} = \alpha t_0 \quad (\text{come avevamo visto in precedenza})$$

$t_1$  dà origine a una deformazione flessionale  
concio di trave di lunghezza  $dz$



$$d\varphi \approx \tan(d\varphi) = \frac{dz \propto (\Delta t_i - \Delta t_e)}{H}$$

$$\Rightarrow \frac{d\varphi}{dz} = \alpha t_1 =: \psi_{\text{term}}$$

$$\psi = \psi_{\text{mecc}} + \psi_{\text{term}} = \frac{M}{EJ} + \alpha t_1$$

$$\Leftrightarrow M = EJ(\psi - \alpha t_1), \quad \psi = -v'', \quad M'' = -p - c'$$

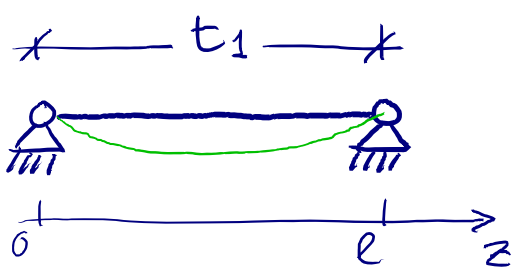
$$\Rightarrow \boxed{(EJ(v'' + \alpha t_1))'' = p + c'}$$

$$M = -EJ(v'' + \alpha t_1)$$

$$T = -(EJ(v'' + \alpha t_1))' + c$$

equazione della linea elastica quando ci sono anche deformazioni di origine termica

ESEMPIO:  $t_1, EJ > 0$  costanti lungo l'asse



$$P=0, c=0$$

$$\Rightarrow \nabla^{IV} = 0$$

$$v = az^3 + bz^2 + cz + d$$

$$v' = 3az^2 + 2bz + c$$

$$v'' = 6az + 2b$$

$$v(0) = 0 \Leftrightarrow d = 0$$

$$M(0) = 0 \Leftrightarrow 2b + \alpha t_1 = 0 \Leftrightarrow b = -\frac{\alpha t_1}{2}$$

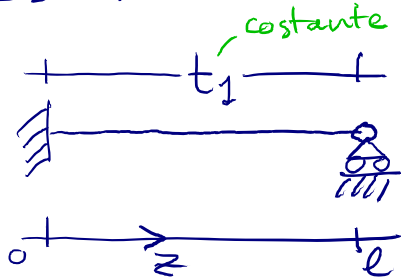
$$M(l) = 0 \Leftrightarrow 6al + 2b + \alpha t_1 = 0 \Leftrightarrow a = 0$$

$$v(l) = 0 \Leftrightarrow -\frac{\alpha t_1}{2} l^2 + cl = 0 \Leftrightarrow c = \frac{\alpha t_1}{2} l$$

$$v(z) = \frac{\alpha t_1}{2} (lz - z^2)$$

la trave si inflette con curvatura costante pari a  $\alpha t_1$

ESEMPIO:



stessa equazione diverse condizioni al contorno

$$v(0) = 0 \Leftrightarrow d = 0$$

$$\varphi(0) = -v'(0) = 0 \Leftrightarrow c = 0$$

$$M(l) = -EJ(v''(l) + \alpha t_1) = 0$$

$$\Leftrightarrow 6al + 2b + \alpha t_1 = 0 \Leftrightarrow b = -3al - \frac{\alpha t_1}{2}$$

$$v(l) = 0 \Leftrightarrow al^3 - \left(3al + \frac{\alpha t_1}{2}\right)l^2 = 0 \Leftrightarrow a = -\frac{\alpha t_1}{4l}$$

$$v(z) = \frac{\alpha t_1}{4l} (l z^2 - z^3)$$

$$b = \frac{\alpha t_1}{4}$$

reazioni vincolari

$$T(l) = -EJ v''' = -EJ(6a) = \frac{3}{2} EJ \frac{\alpha t_1}{l}$$

$$M(0) = -EJ(v'' + \alpha t_1) = -\frac{3}{2} EJ \alpha t_1 = -T(l) l$$

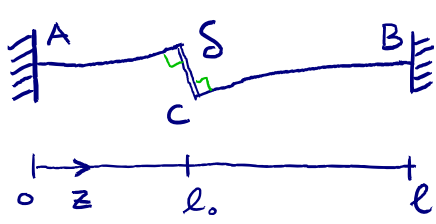


Esercizio:

 $t_1$  costante > 0

Deformazioni dovute a distorsioni:

ESEMPIO:



$\textcircled{1} v_A = 0, \textcircled{2} \varphi_A = 0$

$\textcircled{3} v_B = 0, \textcircled{4} \varphi_B = 0$

$\textcircled{5} [v]_c = \delta, \textcircled{6} [\varphi]_c = 0$

$\textcircled{7} [T]_c = 0, \textcircled{8} [M]_c = 0$

$$v(z) = \begin{cases} v_1(z), & z \in (0, l_0) \\ v_2(z), & z \in (l_0, l) \end{cases}$$

$v_i(z) = a_i z^3 + b_i z^2 + c_i z + d_i, \quad i = 1, 2$

$\textcircled{1} v_1(0) = 0 \Rightarrow d_1 = 0$

$\textcircled{2} v_1'(0) = 0 \Rightarrow c_1 = 0$

$\textcircled{7} v_2'''(l_0) - v_1'''(l_0) = 0 \Rightarrow a_1 = a_2$

$\textcircled{8} v_2''(l_0) - v_1''(l_0) = 0 \Rightarrow b_1 = b_2$

$\textcircled{6} v_2'(l_0) - v_1'(l_0) = 0 \Rightarrow c_1 = c_2 \Rightarrow c_2 = 0$

$\textcircled{5} v_2(l_0) - v_1(l_0) = \delta \Rightarrow d_2 = \delta$

$\textcircled{4} v_2'(l) = 0 \Rightarrow 3a_2 l^2 + 2b_2 l = 0 \Rightarrow b_2 = -\frac{3}{2} a_2 l$

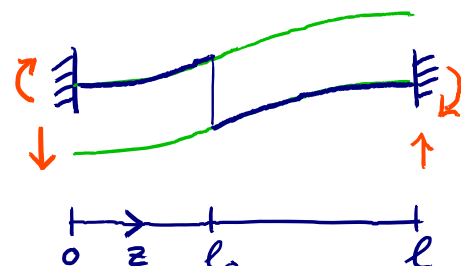
$\textcircled{3} v_2(l) = 0 \Rightarrow a_2 l^3 - \frac{3}{2} a_2 l^3 + \delta = 0 \Rightarrow a_2 = 2\delta/l^3$

$v_1(z) = \frac{2\delta}{l^3} z^3 - \frac{3\delta}{l^2} z^2, \quad z \in (0, l_0)$

$v_2(z) = \frac{2\delta}{l^3} z^3 - \frac{3\delta}{l^2} z^2 + \delta, \quad z \in (l_0, l)$

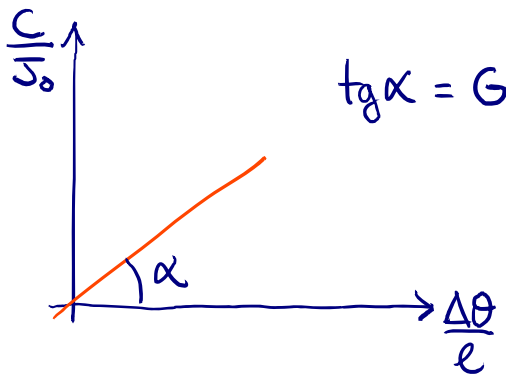
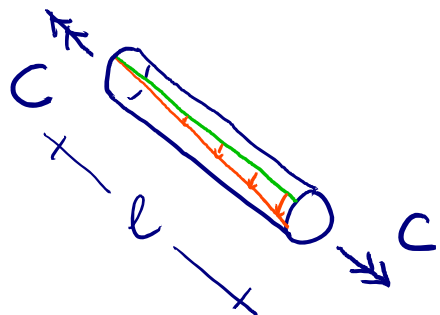
$M(0) = \frac{\delta r_F \delta}{l^2} = -M(l)$

$T = -\frac{12 r_F \delta}{l^3}$



## Deforazioni torsionali

prova di torsione  
su un cilindro circolare retto



$$\operatorname{tg} \alpha = G$$

$\Delta\theta$  rotazione relativa  
tra le basi intorno  
all'asse del cilindro

$J_0$  momento d'inerzia  
polare della sezione

$G$  modulo di scorrimento

$$C = G J_0 \frac{\Delta\theta}{l}$$

$$M_T = r_T \psi_T$$

relazione costitutiva

$$\psi_T = \theta' = \frac{d\theta}{dz} \quad (\sim \frac{\Delta\theta}{l})$$

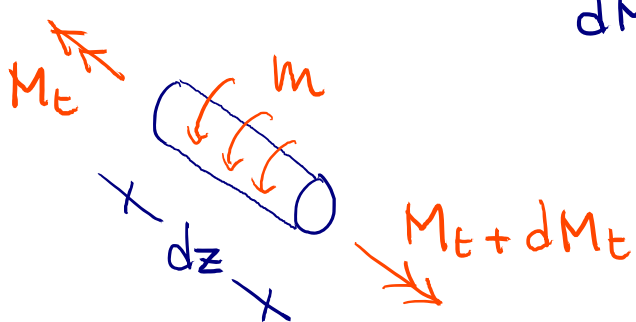
equazione di  
compatibilità  
cinematica

$$r_T = \frac{G J_0}{X_T}$$

fattore di torsione  
coefficiente adimensionale  
 $X_T \geq 1$

con  $X_T = 1$  nel caso  
di sezione circolare  
o a forma di anello  
circolare

Equazione di equilibrio



$$dM_t + m \cdot dz = 0$$

$$\Rightarrow M'_t + m = 0$$

combinando le tre relazioni:

$$(r_F \theta')' = -m \quad (\text{analoga a } (r_E \omega')' = -q)$$